

تحلیل استاتیکی صفحات مثلثی

محمد مهدی سعادت پور* و داود مخالفی**

دانشکده مهندسی عمران، دانشگاه صنعتی اصفهان

(دریافت مقاله: ۱۳۷۶/۱/۲۶ - دریافت نسخه‌نهایی: ۱۳۷۵/۶/۲۴)

چکیده - مقاله حاضر به عنوان یک روش عددی جدید برای تحلیل استاتیکی صفحات مثلثی نازک در دستگاه طبیعی مساحتی تلقی می‌شود. اطلاعات منتشر شده قبلی در مورد حل صفحات مثلثی با شرایط مرزی مختلف حاکی از حل ریلی - ریتز چنین صفحاتی در دستگاه مختصات کارتزین است که نتیجتاً ارائه معادلات مرزها و انتگرالگیری تابع انرژی را بسیار پر حجم می‌سازد. در این مقاله از دستگاه مختصات مساحتی استفاده شده است. که در آن هندسه شکل با نگاشت یک مثلث پایه بسیار ساده ارائه و انتخاب چند جمله ایهای بسط تابع جابه جایی مجاز برای کاربرد روش ریتز به سهولت انجام می‌شود. انتگرالها به طور دقیق محاسبه می‌شوند و همگرایی حل به خاطر استفاده از چند جمله ایهای کامل در این روش حتمی است. براساس راه حل موجود مثالهای متعددی حل شده است و جوابها با تعداد محدود جوابهای صفحات مثلثی مقایسه شده است.

Static Analysis of Triangular Plates

M. M. Saadatpour and D. Mokhalefi

Department of Civil Engineering, Isfahan University of Technology

ABSTRACT- This paper may be regarded as a new numerical method for the analysis of triangular thin plates using the natural area coordinates. Previous studies on the solution of triangular plates with different boundary conditions are mostly based on the Rayleigh-Ritz principle which is performed in the Cartesian

* دانشیار ** دانشجوی کارشناس ارشد

فهرست علامه

ضریب جابه‌جایی در معادله	$w = \frac{\alpha pa}{D}$	α	مختصات مثلثی	L_i	مساحت	A
ضریب لنگر خمی در معادله	$M = \beta pa^2$	β	مؤلفه‌های لنگر خمی بردار توابع درونیابی	M_x, M_y, M_{xy}	مساحت قسمتی از	A_i
بردار ضرایب مجھول	{ Δ }		تعداد جملات درونیابی	< N >	مثلث محدود به ضلع مقابل	
بردار انحنا در دستگاه	{K}		بارگسترده	M	گوش a و نقطه p داخل مثلث	
مختصات کارتزین			نیروی مرکز در نقطه i	p	اعداد صحیح بین صفر و 2 بیان	a,b,c
بردار انحنا در دستگاه	\tilde{K}		بردار نیرو	{q}	کننده شرایط مرزی به ترتیب در مرزهای 1 و 2 و 3	
مختصات مساحتی			ماتریس سختی	[S]	ضرایب مجھول تابع جابه	a_{ijk}
ضریب پواسون	ν		ضخامت	t	جابه‌جایی یا مختصات تعیین یافته	
مختصات طبیعی	ξ, η		تابع تابع انرژی ارجاعی	U	ماتریس تبدیل جابه‌جایی به	[B]
انرژی پتانسیل کل	Π		تابع تابع انرژی پتانسیل	V	انحنا	
تابع مرزی جابه‌جایی	Φ		تابع جابه‌جایی یا تغییر مکان	w	سختی خمی صفحه	D
			تابع میدان جابه‌جایی	w	ماتریس خواص ماده	[D]
			مختصات گوش a مثلاً	x_i, y_i	ماتریس معادل خواص ماده در	\tilde{D}
			بردارهای مختصات گوش‌های مثلث	{X}, {Y}	دستگاه مختصات مثلثی	

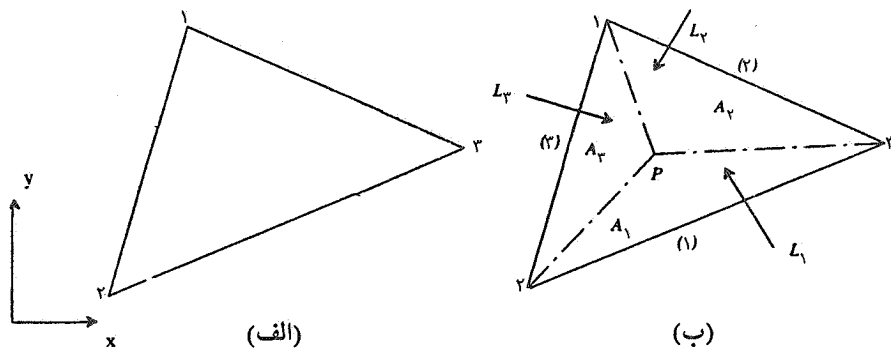
coordinates. Consequently, manipulation of the geometry and numerical calcuation of the integrals are time consuming and tedious. In this paper a new approach is developed to analys triangular plates by the Ritz method, using interpolation functions in the area coordinates. The geometry is presented in a natural way by mapping a parent triangle and the integrals are evaluated analytically. In this approach, the convergence is always assured due to the completeness of interpolating polynomials. Several examples are presented and the results are compared with other available data.

۱- مقدمه

مراجع به طور گسترده‌تری در مورد روش انرژی برای حل صفحات و کاربرد راه حل ریلی - ریتز بحث شده است. مرجع [۲] به طور عملی کاربرد روش اخیر را در حل صفحات مثلثی مختلف نشان داده است، لیکن احتمالاً به دلیل محدودیت ماشینهای حسابگر در حل مسائل عددی از تعداد حداقل سه جمله برای بسط تابع جابه‌جایی استفاده کرده است که به طور طبیعی نباید انتظار جوابهای دقیق داشت.

گسترش تحقیقات فضایی در دهه‌های ۱۹۶۰ و بعد از آن و نیاز به تحلیل ارتعاشی صفحات به منظور تعیین فرکانسها و شکل مودها باعث شد تا به طور فزاینده‌ای برای حل ارتعاشی صفحات مثلثی نیز اقدام شود. لیسا [۵] بحث مختصر و مفیدی را در مورد تحلیل ارتعاشی صفحات خصوصاً صفحات مثلثی با لبه‌های آزاد ارائه می‌دهد. کیم و دیکنسون [۶] به طور مبسوط در مقاله اول خود تحلیل فرکانسی صفحات قائم الزاویه و سپس در مقاله دوم خود

به نظر می‌رسد اطلاعات مربوط به حل استاتیکی صفحات مثلثی ایزوتروپیک با ضخامت یکنواخت، محدود به اطلاعاتی است که کلاً در کتابهای معروف تحلیل صفحات [۱ تا ۴] جمع آوری شده است. به جز تحلیل مسئله صفحه مثلث متساوی الاضلاع با مرزهای لولایی تحت دو حالت بارگذاری گسترده یکنواخت و یا لنگر خمی گسترده یکنواخت در مرزها که در مرجع [۱] گزارش شده و توسط مؤلف دوم همین کتاب حل شده است، هیچ حل دقیقی برای صفحات مثلثی وجود ندارد. تیموشنکو [۱] در بحث مربوط به صفحات مثلثی در مورد راه حل آینه‌ای و روش تفاضل محدود صحبت می‌کند که اولی صرفًا برای حل صفحات مثلث قائم الزاویه با وتر لولایی کاربرد دارد و راه حل دوم گزینه‌ای برای حل تقریبی معادلات دیفرانسیل تلقی می‌شود. مراجع [۲ تا ۴] حاوی اطلاعاتی بیش از اطلاعات مرجع [۱] نیستند، لیکن در این



$$\frac{\partial}{\partial x} = \sum_{i=1}^3 \frac{\partial}{\partial L_i} \frac{\partial L_i}{\partial x} = \frac{1}{\gamma A} \sum \beta_i \frac{\partial}{\partial L_i}$$

$$\frac{\partial}{\partial y} = \sum_{i=1}^3 \frac{\partial}{\partial L_i} \frac{\partial L_i}{\partial y} = \frac{1}{\gamma A} \sum \gamma_i \frac{\partial}{\partial L_i} \quad (4)$$

و نیز

$$\frac{\partial^2}{\partial x^2} = \frac{\partial}{\partial x} \frac{\partial}{\partial x} = \frac{1}{\gamma A^2} \sum_{i=1}^3 \sum_{j=1}^3 \beta_i \beta_j \frac{\partial}{\partial L_i} \frac{\partial}{\partial L_j}$$

$$\frac{\partial^2}{\partial y^2} = \frac{\partial}{\partial y} \frac{\partial}{\partial y} = \frac{1}{\gamma A^2} \sum_{i=1}^3 \sum_{j=1}^3 \gamma_i \gamma_j \frac{\partial}{\partial L_i} \frac{\partial}{\partial L_j}$$

$$\frac{\partial^2}{\partial x \partial y} = \frac{\partial}{\partial x} \frac{\partial}{\partial y} = \frac{1}{\gamma A^2} \sum_{i=1}^3 \sum_{j=1}^3 \beta_i \gamma_j \frac{\partial}{\partial L_i} \frac{\partial}{\partial L_j} \quad (5)$$

معادله (5) را به شکل معادله (6) می‌نویسیم (پایین صفحه):
یا

$$\{\kappa\} = \{Q\} [\tilde{\kappa}] \quad (6)$$

به طوری که تعاریف بردارهای $\{\kappa\}$ و $\{\tilde{\kappa}\}$ که به ترتیب تحت عنوان بردار اتحنا در دستگاه کارتزین و بردار اتحنا در دستگاه مثلثی (مساحتی) معرفی می‌شوند از مقایسه معادله (6) با معادله (6) مشخص می‌شود. ماتریس تبدیل $[Q]$ تبدیل بین بردارهای $\{\kappa\}$ و $\{\tilde{\kappa}\}$ را تسهیل می‌کند.

۳-۲ معادله انرژی پتانسیل کل
انرژی کشسانی: انرژی کشسانی یک صفحه نازک تحت خمس
به سادگی با استفاده از معادله زیر به دست می‌آید [۹]:

$$U = \sum_{i=1}^3 \sum_{j=1}^3 \frac{1}{2} \iint_A \kappa_i D_{ij} \kappa_j dA \quad \text{یا}$$

$$U = \iint_A \frac{1}{2} \{\kappa\}^T [D] \{\kappa\} dA \quad (7)$$

$$\begin{Bmatrix} \frac{\partial^2}{\partial x^2} \\ \frac{\partial^2}{\partial y^2} \\ \frac{\partial^2}{\partial x \partial y} \end{Bmatrix} = \frac{1}{\gamma A^2} \begin{bmatrix} \beta_1^2 & \beta_2^2 & \beta_3^2 & \beta_1 \beta_2 & \beta_2 \beta_3 & \beta_3 \beta_1 \\ \gamma_1^2 & \gamma_2^2 & \gamma_3^2 & \gamma_1 \gamma_2 & \gamma_2 \gamma_3 & \gamma_3 \gamma_1 \\ \gamma_1 \beta_1 & \gamma_2 \beta_2 & \gamma_3 \beta_3 & (\beta_1 \gamma_2 + \gamma_1 \beta_2) & (\beta_2 \gamma_3 + \gamma_2 \beta_3) & (\beta_3 \gamma_1 + \gamma_3 \beta_1) \end{bmatrix} \quad (8)$$

عرضی رئوس مثلث و $\langle L \rangle$ بردار سطحی مختصات L_i است، به طوری که

$$\langle L \rangle = \langle L_1 \ L_2 \ L_3 \rangle$$

همچنین از آنجاکه مختصات (x_1, y_1, z_1) بیش از مختصات لازم برای تعریف نقطه در فضای دوبعدی است، لذا لازم است وابستگی بین این مختصات صریحأ به صورت زیر بیان شود:

$$1 = L_1 + L_2 + L_3 = \langle L \rangle \{1\} \quad (2-ب)$$

از حل توازن معادلات (2) به نتیجه زیر می‌رسیم:

$$L_i = \frac{1}{\gamma A} (\alpha_i + \beta_i x + \gamma_i y) \quad (3)$$

به طوری که

$$\gamma A = \begin{bmatrix} x_1 & x_2 & x_3 \\ y_1 & y_2 & y_3 \\ 1 & 1 & 1 \end{bmatrix} \quad (3-\text{الف})$$

$$\alpha_i = x_j y_k - y_j x_k, \quad \beta_i = y_j - y_k = y_{jk}, \quad \gamma_i = x_k - x_j = -x_{jk} \quad (3-\text{ب})$$

و به این ترتیب روابط مختصات مثلثی L_i بر حسب مختصات کارتزین x, y صریحأ به دست می‌آید.

۴-۲ تبدیل اپراتورهای مشتقگیری
مشتقهای اول و دوم هرتابع عددی به سادگی با توجه به معادلات (2) و (3) و مشتقگیری زنجیره‌ای به دست می‌آیند، پس

تشکیل شده باشد، مطابق زیر استفاده می‌کنیم

$$\mathbf{w} = \Phi \cdot \tilde{\mathbf{w}} \quad (14)$$

به طوری که $\{D\}$ ماتریس سختی ساده برای صفحه است [۱۰]. برای تسهیل در انتگرالگیری معادله (۸)، این معادله را در دستگاه مثلثی می‌نویسیم. برای این منظور از معادله (۷) در معادله (۸) قرار می‌دهیم.

به طوری که Φ تابع مرزی به صورت

$$\Phi = L_1^a \cdot L_2^b \cdot L_3^c \quad (14-\text{الف})$$

ارائه می‌شود. از آنجاکه تابع w برای کاربرد در روش ریلی ریتز باید شرایط مرزی هندسی را ارضاء کند، لذا تابع مرزی Φ به صورت حاصلضرب سه مختصات L_1 , L_2 و L_3 با نمادهای اعداد صحیح غیر منفی a , b و c طوری انتخاب می‌شود که چنین پیش شرطی برآورده شود. این کمیات نمایی در جدول (۱) برای شرایط مرزی مختلف داده شده‌اند. تابع \tilde{w} شامل جملاتی با ضرایب نامعلوم به شکل زیر است:

$$\tilde{w} = a_{ijk} L_1^i L_2^j L_3^k \quad (14-\text{ب})$$

که در آن $m + i + g + k = m$ حداکثر درجه چند جمله‌ای به کار رفته در این تابع میدانی است.

معادله (۱۴-ب) را برای سهولت محاسبات ماتریسی چنین می‌نویسیم:

$$\tilde{w} = \Delta_I \Psi_I(L_1, L_2, L_3) \quad (15-\text{الف})$$

جدول ۱- مقادیر a , b و c در تابع مرزی Φ

$L_1 = 0$	$L_2 = 0$	$L_3 = 0$	مرز	شرایط مرزی
(a)	(b)	(c)		
۰	۰	۰		آزاد
۱	۱	۱		ساده
۲	۲	۲		ثابت

به طوری که اندیس I و ضریب Δ_I و تابع چند جمله‌ای Ψ_I به ترتیب عبارت‌انداز:

که در آن $[D]$ ماتریس سختی ساده اصلاح شده برای استفاده در دستگاه مثلثی است. این ماتریس که به صورت زیر داده می‌شود به طور صریح قابل محاسبه است.

$$\tilde{[D]} = [\mathbf{Q}]^T [D] [\mathbf{Q}] \quad (15)$$

انرژی پتانسیل نیروهای خارجی: انرژی پتانسیل بارگسترده خارجی $p(x, y)$ و نیز بارهای متغیر $P_i(x, y)$ به سهولت با توجه به تابع تغییر مکان صفحه $w(x, y)$ محاسبه می‌شود:

$$V = - \iint_A p_{(x, y)} w_{(x, y)} dA - \sum p_i w_i \quad (11)$$

که در آن $(x_i, y_i) = w_i$ تغییر مکان زیر بار P_i است. معادله فوق در دستگاه مثلثی چنین نوشته می‌شود:

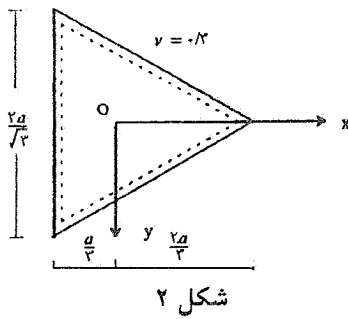
$$V = - \iint_A p_{(L_1, L_2, L_3)} w_{(L_1, L_2, L_3)} dA \quad (12)$$

از آنجاکه بیان جمله دوم سمت راست معادله (۱۱) در قالب همان جمله اول نیز امکان پذیر است، لذا برای سهولت در محاسبات به حذف آن در معادله (۱۲) اقدام شده است.

انرژی پتانسیل کل صفحه به صورت زیر ارائه می‌شود:

$$\Pi = U + V = \iint_A \frac{1}{2} \tilde{\mathbf{k}}^T \tilde{[D]} \tilde{\mathbf{k}} dA - \iint_A p w dA \quad (13)$$

۴-۲ بسط میدان جابه‌جاوی برای بیان میدان جابه‌جاوی در دستگاه مثلثی L_1, L_2, L_3 از تابعی که در قالب حاصلضرب دو تابع انرژی و تابع میدانی چند جمله‌ای



شکل ۲

و بردار نیرو به دست می‌آیند.

$$S_{IJ} = \iint_A \mathbf{B}_I^T [\mathbf{D}] \mathbf{B}_J dA \quad (19)$$

$$q_I = \iint_A \mathbf{N}_I^T p dA \quad (20)$$

و بالاخره

$$[\mathbf{S}] \{\Delta\} = \{q\} \quad (21)$$

با حل معادله (21) بردار ضرایب $\{A\}$ به دست می‌آید.

لازم به توضیح است که فرمولبندی فوق نظری فرمولبندی روش اجزای محدود در دستگاه مختصات تعیین یافته است [۱۰]. تنها تفاوتی که در اینجا لازم به تأکید است همانا حل مسئله به شکل کامل در تمام میدان شکل هندسی و به صورت مجموعه‌ای از اجزاست. انتگرال‌های معادلات (19) و (20) به صورت بسته و با توجه به فرمول موجود زیر انجام می‌شود:

$$\iint_A L_1^r L_2^s L_3^t dA = \frac{r! s! t!}{(r+s+t+2)} 2A \quad (22)$$

۳- مثالها

۱-۳ صفحه مثلث متساوی اضلاع بالهای لولا بی در دو حالت تحت بار گسترده یکنواخت و بار لنگر خمثی یکنواخت در لبه‌ها. صفحه مثلثی ایزوتروپیک شکل (۲) تحت بار عمودی گسترده یکنواخت اعمالی حل شده است. حل دقیق جایه جایی مرکز این صفحه به صورت $w = \alpha pa^2/D$ موجود است [۵]. حل عددی با استفاده از تابع جایه جایی میدان w با درجه چند جمله‌ای صفر، خطی، مربعی و مکعبی در جدول (۲) داده شده است. همچنین

$$I = \frac{1}{r}(m-i)(m-i+2) - j + 1$$

$$\Delta_I = a_{ijk}$$

$$\Psi_I = L_1^i L_2^j L_3^k \quad (15)$$

بنابراین

$$w = \sum_{I=1}^M \Delta_I L_1^a L_2^b L_3^c \Psi_I (L_1 L_2 L_3) = \langle N \rangle \{\Delta\} \quad (16)$$

به طوری که $M = \frac{1}{r}m(m+1)$ تعداد جملات بسط است.

حال چنانچه از تابع w ارائه شده در معادله (16) برای تعیین بردار اتحنای $\{K\}$ استفاده کنیم خواهیم داشت:

$$\begin{aligned} \tilde{\{e\}}^T &= \sum \langle (i+a-1)(i+a-2)L_1^{a-2}, \\ &\quad (j+b-1)(j+b-2)L_2^{b-2}, \\ &\quad (k+c-1)(k+c-2)L_3^{c-2} \\ &\quad 2(i+a-1)(i+b-1)L_1^{a-1}L_2^{b-1}, \\ &\quad (j+b-1)(k+c-1)L_2^{b-1}L_3^{c-1}, (k+c-1), \\ &\quad (i+a-1)L_3^{c-1}L_1^{a-1} \rangle N_I A_I \end{aligned}$$

یا

$$\{e\} = \sum_{I=1}^M \mathbf{B}_I^T \Delta_I = [\mathbf{B}] \{\Delta\} \quad (17)$$

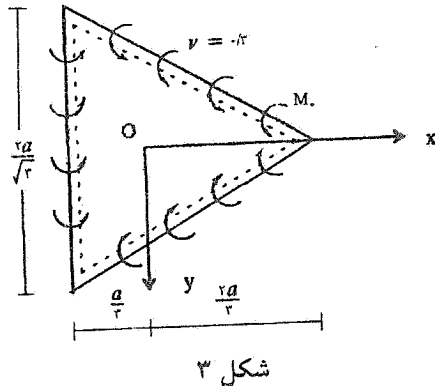
که در آن بردار $I\{\mathbf{B}\}$ از مقایسه معادله (17) با معادله قبلی خودش مشخص می‌شود.

۴- تعیین ماتریس سختی و بردار نیرو

با کاربرد معادلات (16) و (17) در معادله (۱۳)، معادله مذبور به صورت زیر در می‌آید:

$$\begin{aligned} \Pi &= \frac{1}{r} \{\Delta\}^T \left(\iint_A \mathbf{B}_I^T [\mathbf{D}] \mathbf{B}_J dA \right) \{\Delta\} \quad (18) \\ &\quad - \{\Delta\}^T \iint_A \mathbf{N}_I^T p dA \end{aligned}$$

با اعمال اصل مینیمم انرژی پتانسیل کل درایه‌های ماتریس سختی



شکل ۳

جدول ۲- ضرایب α و β برای کمیات $w = \alpha \frac{pa^4}{D}$ و $M_x = M_y = \beta pa^2$ در مرکز صفحه شکل (۲) تحت بار گسترش دیکنواخت

ضریب	درجه تابع	w
[۱]	(۲)	α
	(۳)	$0/001029$ $0/1029$ $0/001029$ $0/000617$ $0/000617$

ضریب	درجه تابع	w
[۱]	(۱)	β
	(۰)	$0/024074$ $0/024074$ $0/024074$ $0/01083$ $0/10183$

جدول ۳- ضریب α برای کمیت $w = \alpha \frac{pa^4}{D}$ در مرکز صفحه شکل (۲) تحت بار متتمرکز در مرکز

ضریب	درجه تابع	w
[۱]	(۱)	α
	(۰)	$0/00575$ $0/00564$ $0/00484$ $0/00484$ $0/0024$ $0/0024$

راست به ترتیب عبارت اند از:

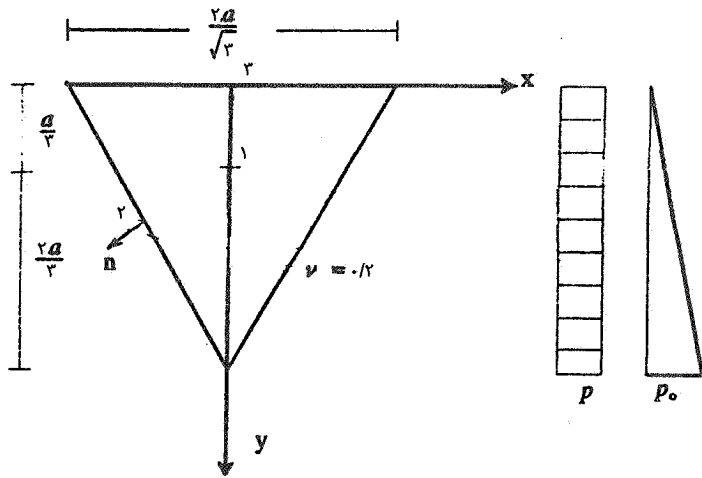
$$w = \alpha \frac{M_0 a^4}{D} \quad \alpha = \frac{1}{27}$$

$$(M_y)_{\max} = \beta M_0 \quad \beta = \frac{3 - \nu}{2}$$

این کمیات به روش موجود با درجات مختلف بسط تابع w محاسبه شده‌اند که مقادیر آنها در جدول (۴) موجودند.
۲-۳ صفحه مثلث متساوی اضلاع با دو بعد ثابت و یک لبه دیگر در دو حالت ثابت و ساده تحت بار گسترش دیکنواخت و بار گسترش هیدرواستاتیک (شکل ۴). مؤلفه‌های لنگر خمشی در مرکز این صفحه (نقطه ۱) و نیز لنگر خمشی عمودی در وسط ضلع سمت چپ (نقطه ۲) و وسط ضلع فوقانی (نقطه ۳) به روش تفاضل محدود توسط تیموشنکو ارائه شده است [۱]. این کمیات برای دو سیستم بار گسترش دیکنواخت و خطی مطابق شکل (۴) و شرایط مرزی ضلع فوقانی ساده و ثابت محاسبه شده‌اند. اگر لنگرهای توسط

مؤلفه‌های لنگر خمشی M_x و M_y در مرکز این صفحه به صورت $M_x = M_y = \beta pa^2$ ارائه می‌شود که مقدار β در همین جدول ثبت شده است. مقادیر دقیق α و β به ترتیب $\frac{1 + \nu}{54}$ و $\frac{1 + \nu}{972}$ هستند.

حل تغییر مکان صفحه شکل (۲) برای بار متتمرکز اعمالی در مرکز ۰ نیز در همان مرجع [۱] موجود است. در این مورد تغییر مکان در زیر نقطه اعمال بار p در مرکز با $w = \alpha \frac{pa^4}{D}$ مشخص می‌شود، ضریب α برای حل مرجع [۱] و حل موجود در جدول (۳) داده شده است. حل مرجع [۱] به روش آئینه‌ای و به کمک سری فوریه انجام شده است. چنانچه حل دقیق مسئله به روش آئینه‌ای انجام شود ضریب دقیق α مساوی $0/00571$ خواهد بود که این جواب در مرجع [۱] نیز ذکر شده است. اکنون همان صفحه مثلثی شکل (۲) را مطابق شکل (۳) تحت اثر بار دیکنواخت M_0 در لبه‌ها در نظر می‌گیریم. حل دقیق این صفحه موجود است [۱]، به طوری که جایه جایی در مرکز صفحه و لنگر خمشی M_y در گوشه سمت



شکل ۴

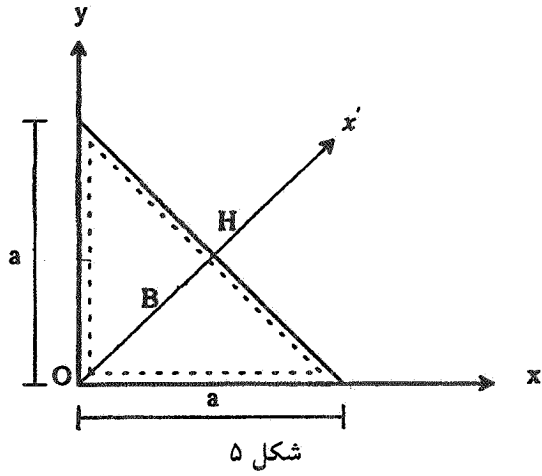
جدول ۴ - ضرایب α و β برای کمیات جابجایی در مرکز و لنگر خمشی M_y در گوش سمت راست صفحه شکل (۳) تحت لنگر مرزی یکنواخت

ضریب	درجه تابع	w	(۰)	(۱)	(۲)	(۳)	حل دقیق	[۲]
α			۰/۰۳۷۰۳۷	۰/۰۳۷۰۳۷	۰/۰۳۷۰۳۷	۰/۰۳۷۰۳۷	۰/۰۳۷۰۳۷	۰/۰۳۷۰۳۷
β			۱/۳۵	۱/۳۵	۱/۳۵	۱/۳۵	۱/۳۵	۱/۳۵

توضیح است که ضریب α با تقریب دوم جابه جایی در مرجع [۲] برای نقطه ای به طول دوسوم ارتفاع از رأس O به روش انرژی محاسبه شده است که مقدار آن $= ۰/۰۶۸$ است. اگر همین ضریب با درونیابی ضرایب داده شده در مرجع [۱] که برای طولهای یک دوم و سه چهارم ارتفاع OH موجود است، محاسبه شود، مقدار آن $= ۰/۰۸۶$ خواهد بود. حل روش موجود در مرجع [۰] همین مقدار را به دست می دهد است که با جواب دقیق مرجع [۴] که همین مقدار را به دست می دهد مطابقت دارد و احتمالاً دقت جواب مرجع [۱] مورد سؤال است. حل تغییر مکان مرکز صفحه شکل (۵) با مرزهای ثابت نیز تحت بار یکنواخت p (شکل ۵). حل این صفحه به روش آیینه ای در مرجع [۱] موجود است. تغییر مکان W ، لنگر خمشی M_y (محور x محور نیمساز زاویه قائم است) و لنگر خمشی M_x (محور x با عبارات $\frac{pa^4}{Et^3}$ و $M_x = \beta_1 pa^2$ مشخص می شوند. مقادیر α_1 و β_1 برای نقطه B در وسط ارتفاع OH در جدول (۸) فهرست شده اند. همین کمیات به روش موجود محاسبه شده و در جدول ارائه شده است. لازم به

شایان ذکر است که مراجع [۱] و [۴] هر دو از مراجع اصیل تحلیل ورقها هستند و به نظر می رسد عدم دقت جواب مرجع [۱] در انتقال اعداد بوده است.

برای بار یکنواخت و $M = \beta_1 p a^2$ برای بار مثلثی نوشته شوند مقادیر β و β_1 هم برای روش تفاضل محدود [۱] و هم برای روش موجود در جداول (۵) و (۶) ثبت شده اند. در مرجع [۲] تغییر مکان ماکریم این صفحه تحت اثر بار گسترده یکنواخت که در مرکز آن اتفاق می افتد به روش انرژی با تقریب اول تابع جابه جایی محاسبه شده است. این مقدار و نیز مقداری که به روش موجود ارزیابی شده است در جدول (۷) مشاهده می شود. ۳- صفحه مثلث قائم الزاویه متساوی الساقین بالبهای لولایی تحت بار یکنواخت p (شکل ۵). حل این صفحه به روش آیینه ای در مرجع [۱] موجود است. تغییر مکان W ، لنگر خمشی M_y (محور x محور نیمساز زاویه قائم است) و لنگر خمشی M_x (محور x با عبارات $\frac{pa^4}{Et^3}$ و $M_x = \beta_2 pa^2$ مشخص می شوند. مقادیر α_2 و β_2 برای نقطه B در وسط ارتفاع OH در جدول (۸) فهرست شده اند. همین کمیات به روش موجود محاسبه شده و در جدول ارائه شده است. لازم به



جدول ۵ - ضرایب β و β_0 برای کمیات $M = \beta p a^2$ و $M = \beta_0 p a^2$ صفحه شکل (۴)
با مرز فوقانی ساده تحت دو سیستم بارگسترده یکنواخت و خطی

روش تفاضل محدود [۱]	کمیت و درجه تابع w					ضریب
	(۵)	(۴)	(۳)	(۲)		
۰/۰۱۲۶	۰/۰۱۲۱	۰/۰۱۲۱	۰/۰۱۲۱	۰/۰۱۱۶	β	$(M_x)_1$
۰/۰۰۵۳	۰/۰۰۴۵	۰/۰۰۴۵	۰/۰۰۴۶	۰/۰۰۴۵	β_0	
۰/۰۱۴۷	۰/۰۱۴۲	۰/۰۱۴۲	۰/۰۱۴۳	۰/۰۱۴۲	β	$(M_y)_1$
۰/۰۰۳۵	۰/۰۰۳۸	۰/۰۰۳۸	۰/۰۰۳۸	۰/۰۰۳۸	β_0	
-۰/۰۲۸۵	-۰/۰۳۱۷	-۰/۰۳۱۷	-۰/۰۳۱۳	-۰/۰۳۰۰	β	$(M_x)_2$
-۰/۰۱۰۰	-۰/۰۱۱۲	-۰/۰۱۱۲	-۰/۰۱۱۰	-۰/۰۱۱۱	β_0	
۰/	-۴/۵×۱۰^{-۶}	-۱/۷×۱۰^{-۵}	-۲/۸×۱۰^{-۴}	-۷×۱۰^{-۴}	β	$(M_y)_2$
۰/	۳/۳×۱۰^{-۵}	۱۰×۱۰^{-۴}	۲×۱۰^{-۴}	۳×۱۰^{-۴}	β_0	

جدول ۶ - ضرایب β و β_0 برای کمیات $M = \beta p a^2$ و $M = \beta_0 p a^2$ صفحه شکل (۴) با مرز فوقانی ثابت
تحت دو سیستم بارگسترده یکنواخت و خطی

[۱]	کمیت و درجه تابع w					ضریب
	(۳)	(۲)	(۱)	(۰)		
۰/۰۱۱۳	۰/۰۱۱۰	۰/۰۱۱۱	۰/۰۱۰۰	۰/۰۱۰۰	β	$(M_x)_1$
۰/۰۰۵۱	۰/۰۰۳۸	۰/۰۰۳۸	۰/۰۰۳۳	۰/۰۰۳۳	β_0	
۰/۰۱۱۰	۰/۰۱۱۰	۰/۰۱۱۱	۰/۰۱۰۰	۰/۰۱۰۰	β	$(M_y)_1$
۰/۰۰۳۴	۰/۰۰۳۵	۰/۰۰۳۶	۰/۰۰۳۳	۰/۰۰۳۳	β_0	
-۰/۰۲۳۸	-۰/۰۲۶۵	-۰/۰۲۴۷	-۰/۰۲۶	-۰/۰۲۶	β	$(M_x)_2$
-۰/۰۰۹۱	-۰/۰۱	-۰/۰۰۹۵	-۰/۰۱	-۰/۰۰۹	β_0	
-۰/۰۲۳۸	-۰/۰۲۶۴	-۰/۰۲۴۷	-۰/۰۲۶۰	-۰/۰۲۶	β	$(M_y)_2$
-۰/۰۰۶۰	-۰/۰۰۶۳	-۰/۰۰۵۸	-۰/۰۰۵۲	-۰/۰۰۵	β_0	

جدول ۷- ضریب α برای کمیت $w = \alpha \frac{pa^4}{D} \left(\frac{2}{\sqrt{3}} \right)^4$ در مرکز صفحه شکل (۴) با مرز فوکانی ثابت تحت بار گسترده یکنواخت

ضریب	درجه تابع w	(۰)	(۱)	(۲)	(۳)	[۲]
α	۰/۰۰۰۱۶	۰/۰۰۰۱۷	۰/۰۰۰۱۷	۰/۰۰۰۱۷	۰/۰۰۰۱۶	۰/۰۰۰۱۶

جدول ۸- ضرایب α , β_1 و β_2 برای کمیات $M_y = \beta_1 pa^2$ و $M_x = \beta_2 pa^2$ و $w = \alpha \frac{pa^4}{Et^3}$

نقطه B صفحه مثلثی شکل (۵) تحت بار گسترده یکنواخت

ضریب	درجه تابع w	(۰)	(۱)	(۲)	(۳)	(۴)	روش	[۲]
آئینه‌ای [۱]								
α	۰/۰۰۲۸	۰/۰۰۴۲	۰/۰۰۶۱	۰/۰۰۶۵	۰/۰۰۶۶	۰/۰۰۸۶	۰/۰۰۶۶	۰/۰۰۰۱۶
β_1	۰/۰۵۴۲	۰/۰۱۰۵	۰/۰۱۵۴	۰/۰۱۷۸	۰/۰۱۸۳	۰/۰۱۸۱	۰/۰۱۸۱	۰/۰۰۰۱۷
β_2	۰/۰۵۴۲	۰/۰۰۹	۰/۰۱۴۷	۰/۰۱۶۹	۰/۰۱۷۹	۰/۰۱۸۱	۰/۰۱۸۱	۰/۰۰۰۱۷

جدول ۹- ضریب α برای کمیت $w = \alpha \frac{pa^4}{D}$ برای صفحه شکل (۵)

با مرزهای ثابت تحت اثر بار گسترده یکنواخت

ضریب	درجه تابع w	(۰)	(۱)	(۲)	(۳)	[۶]
α	۰/۰۰۰۱۴۳	۰/۰۰۰۱۶۶	۰/۰۰۰۱۷۷	۰/۰۰۰۱۷۷	۰/۰۰۰۱۷۷	۰/۰۰۰۱۴۳

۴- بررسی جوابها و نتیجه گیری

جوابهای ارائه شده در جداول (۲) تا (۹) نشان می‌دهند که روش جدید ارائه شده برای حل مسائل صفحات مثلثی یکنواخت با شرایط مرزی اختیاری کاملاً مؤثر بوده و جوابها با دقت کافی قابل اعتمادند. صفحه مثلثی متساوی اضلاع با لبه‌های لوایی تحت بار یکنواخت و یا لنگر یکنواخت در لبه‌ها تنها صفحه‌ای است که برای آن حل دقیق وجود دارد. این حل برای دو حالت مزبور در دستگاه مختصات مساحتی به ترتیب به صورت زیر است:

$$w = \frac{pa^4}{12D} L_1 L_2 L_3 (L_1 L_2 + L_2 L_3 + L_3 L_1) \quad (۲۳)$$

$$w = \frac{M_a^4}{D} L_1 L_2 L_3 \quad (۲۴)$$

مقدار تغییر مکان در مرکز این مثلث برای دو حالت بارگذاری به ترتیب عبارت اند از:

این مقادیر در جداول (۲) و (۴) به طور دقیق به دست آمده‌اند. در جدول (۲) برای بار گسترده هنگامی که مرتبه تابع میدان w دو یا بیشتر باشد و در جدول (۴) برای لنگر خمی یکنواخت در لبه‌ها هنگامی که مرتبه تابع w صفر یا بیشتر باشد به ضرایب دقیق α می‌رسیم و این نتایج با دقت در معادلات (۲۳) و (۲۴) قابل رویت است.

نتایج روش موجود برای حل مثلث قائم الزاویه لوایی تحت بار یکنواخت که در جدول (۸) ارائه شده است با نتایج داده شده توسط تیموشنکو [۱] حدود ۵۰ درصد اختلاف دارد اما با جوابهای مرجع [۴] کاملاً مطابقت دارد، بنابراین به نظر می‌رسد دقت

جوابهای [۱] مورد سؤال باشد.

تمام جداول همگرایی حل را با افزایش درجه چند جمله‌ای تابع میدان w ، کاملاً به صورت هموار، نشان می‌دهند. در حقیقت با توجه به اینکه چند جمله‌ایهای به کار رفته در تابع w چند جمله‌ایهای کامل هستند انتظار یک همگرایی هموار انتظاری به جاست و می‌توان مطمئن بود روش موجود قادر به حل هر نوع صفحهٔ پکنواخت مثلثی با شرایط مرزی و بارگذاری است.

مراجع

1. Timoshenko, S. T. and Wainowsky-Krieger, S., *Theory of Plates and Shells*, pp. 313-317, McGraw-Hill, New York, 1970.
2. Lekhnitskii, S. G., *Anisotropic Plates*, Gordon and Breach Science Publisher, 1968.
3. Szilard, S., *Theory and Analysis of Plates, Classical and Numerical Methods*, p. 125, Prentice-Hall, 1974.
4. Ugural, A. C., *Stresses in Plates and Shells*, pp. 95-100, McGraw-Hill, 1981.
5. Leissa, A. W. and Jaber N. A., "Vibration of Completely Free Triangular Plates," International Journal of Mechanical Science, Vol. 34, No. 8, pp. 605-616, 1992.
6. Kim, C. S. and Dickinson, "The Free Flexural Vibration of Right Triangular Isotropic and Orthotropic Plates, J.S.V., 141(2), 291-311, 1990.
7. Kim, C. S. and Dickinson, "The Free Flexural Vibration of Isotropic and Orthotropic General Triangular Shaped Plates, J.S.V., 152(3), 383-403, 1992.
8. Singh, B. and Chakraverty, "Transverse Vibration of Triangular Plates using Characteristic Orthogonal Polynomials in Two Variables" International Journal of Mechanical Science, Vol. 34, No. 8, pp. 605-616, 1992.
9. Dym, C. L. and Shames I. M., *Solid Mechanics, A Variational Approach*, McGraw-Hill, 1973.
10. Zienkiewicz, O. C., *The Finite Element Method*, Vol. 1, 4th ed., pp. 128-132, McGraw-Hill, 1989.
11. Caramanian, C., Selby, K. A. and Will, G. T., "A Quintic Conforming Plate Bending Triangle," Int. J. Num. Meth. Eng. Vol. 12, pp. 1109-1136, 1978.